

# ارزیابی اشتقاد قاعده‌ای – رأسی الکتروکاردیوگرام الاغ

شاهین نجات<sup>۱</sup>، احسان ترکی<sup>۲\*</sup>، غلامعلی کجوری<sup>۳</sup>، امیر زید آبادی<sup>۴</sup>، بابک سجادی<sup>۴</sup>، حامد منصور لکورج<sup>۴</sup>، سعید عزیزان خانتاه<sup>۴</sup>

۱-بخش بیماری‌های داخلی دامهای بزرگ، دانشگاه آزاد اسلامی واحد شهرکرد، شهرکرد- ایران.

۲-بخش بیماری‌های داخلی دامهای بزرگ، دانشگاه تهران، تهران- ایران.

۳-بخش بیماری‌های داخلی دامهای بزرگ، دانشگاه شهرکرد، شهرکرد- ایران.

۴-دانش آموخته دکتری دامپزشکی، دانشگاه تهران، تهران- ایران.

\*نویسنده مسئول: Aria\_vet@yahoo.com

## Analysis of base apex lead electrocardiograms of domestic donkey

Nejat, Sh.<sup>1</sup>, Torki, E.<sup>2\*</sup>, Kojouri, Gh.<sup>3</sup>, Zeidabadi, A.<sup>4</sup>, Sajadi, B.<sup>4</sup>, Mansoor, L, H.<sup>4</sup>, Azizian, kh., S.<sup>4</sup>

*1Department of Clinical Sciences, Faculty of Veterinary Medicine, Islamic Azad University, Shahre-kord branch, Shahre-Kord-Iran.*

*2Department of Clinical Sciences, Faculty of Veterinary Medicine, Tehran University, Tehran- Iran.*

*3Department of Clinical Sciences, Faculty of Veterinary Medicine, Shahre-Kord University, Shahre-kord- Iran.*

*2Graduated of Student, Faculty of Veterinary Medicine, Tehran University, Tehran- Iran.*

### Abstract

To determine the normal electrocardiogram parameters in donkey this study was carried out on 46 healthy donkeys, ranging age from 2 to 12 years. A base apex lead ECG was recorded from each donkey at paper speed 25mm/sec and calibration of 10mm. equal to one mV. Heart rate, amplitudes, configuration and intervals of waveform were recorded on ECG. Results showed that mean heart rate was  $55.47 \pm 10.93$  beats/min and the P wave was generally positive and biphasic. The mean of P, Q, r, S and T wave amplitudes were  $(0.27 \pm 0.04)$ ,  $(2.2 \pm 0.4)$ ,  $(0.13 \pm 0.09)$ ,  $(2.2 \pm 0.4)$  and  $(0.63 \pm 0.3)$  mV, respectively. Two patterns of QRS complex (rS and QS) and three patterns of the T wave (negative, 15.22%; positive, 26.08%; and biphasic; 58.7%) were also recognized. Duration of PR, RR, QT and PP intervals, TP segment and QRS complex, P and T waves were as follows: PR)0.24±0.05(, RR)1±0.2(, QT)0.46±0.08( and PP)1±0.24(, TP)0.2±0.04(, QRS)0.1±0.01(, P)0.1±0.01( and T)0.16±0.04). *Vet.J.of Islamic.Azad.Univ., Garmsar Branch. 4,4:177-180,2008.*

**Keywords:** Donkey, Electrocardiogram, Base-Apex.

سرانجام اشتقاد اندامی یک قطبی تقویت شده aVL، aVR و aVF نیز ابداع شدند. هرچه محور اصلی الکتریکی قلب با محور الکترود مثبت دستگاه منطبق تر باشد، موج ثبت شده بلندترین ارتفاع را خواهد داشت. در انسان و سگ اشتقادهای شش گانه اندامی بیشترین انطباق را با محور اصلی الکتریکی قلب و

### چکیده

از ۴۶ رأس الاغ که بررسی های درمانگاهی سلامت آنها را تایید می کرد، برای تعیین پارامترهای نرمال الکتروکاردیوگرام در اشتقاد قاعده‌ای – رأسی استفاده شد. در این بررسی تعداد ضربان قلب ( $55\pm 10.93$ ) ضربان در دقیقه و اندازه فواصل PR( $0.24\pm 0.05$ ), QT( $0.46\pm 0.08$ ), RR( $1\pm 0.2$ ), PP( $0.2\pm 0.04$ ), TP( $0.2\pm 0.04$ ), QRS( $0.1\pm 0.01$ ), P( $0.1\pm 0.01$ ), T( $0.16\pm 0.04$ ), بر حسب ثانیه محاسبه شد. همچنین اندازه قطعات ST( $0.05\pm 0.04$ ), Q( $2/2\pm 0.4$ ), R( $0/13\pm 0.4$ ), S( $2/2\pm 0.4$ ), P( $0/27\pm 0.4$ ) بر حسب میلی ولت محاسبه گردید. شکل امواج T به صورت مثبت ( $0.15\pm 0.08$ ) و منفی ( $0.22\pm 0.08$ ) دو فازی ( $0.07\pm 0.08$ ) دو فازی دو فازی (QS( $0.1\pm 0.08$ )) ثبت شد. همچنین شکل مجموعه QRS در تمامی نوارهای اخذ شده از این اشتقاد منفی و به صورت مثبت (QS( $0.22\pm 0.08$ )) نمایان شد. از سوی دیگر موج P در تمامی نوارهای اخذ شده مثبت و به صورت تک دو فازی ( $0.08\pm 0.04$ ) و دو فازی ( $0.07\pm 0.04$ ) ظاهر شد. با توجه به اینکه اشتقاد قاعده‌ای – رأسی بهترین و رایج ترین اشتقاد مورد استفاده در دام‌های بزرگ بوده و اطلاعات الکتروکاردیوگرام مربوط به الاغ‌های ایران محدود به اشتقادهای دیگر قلب است، نیاز به تعیین پارامترهای نرمال الکتروکاردیوگرام در این حیوان احساس می شود. مجله دانشکده دامپزشکی دانشگاه آزاد اسلامی واحد گرمسار، دوره ۴، شماره ۱۸۰، ۱۷۷-۱۸۰.

واژه‌های کلیدی: الاغ – الکتروکاردیوگرام – قاعده‌ای – رأسی.

### مقدمه

پس از گذشت مدتی از ابداع سه اشتقاد اولیه دو قطبی I-II-III توسط آینتهون، مشاهده شد که ارتفاع و پژوه امواج ثبت شده چندان رضایتبخش نیست. لذا پس از گذار از مراحلی دیگر

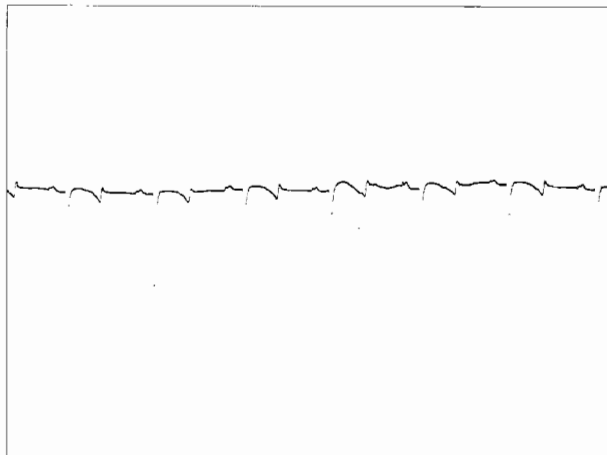


جدول شماره ۱: میانگین، انحراف معیار، حداقل و حداکثر تعداد ضربان قلب، وزن و سن ۴۶ رأس الاغ مورد مطالعه.

ضریبان قلب	وزن	سن	فراستجه رابطه
M $\pm$ STD	۵/۹۶ $\pm$ ۲/۵۴	۱۶۴/۵۲ $\pm$ ۲۹/۵۶	۵۵/۴۷ $\pm$ ۱۰/۹۲
۳۴	۹۰	۲	Min
۸۳	۲۵۰	۱۲	Max

جدول شماره ۲: فراوانی و درصد فراوانی شکل امواج QRS, T, P در ۴۶ رأس الاغ مورد مطالعه.

QRS	مجموعه	P موج		T موج			موچ		فراستجه رابطه
QS	rS	دو فازی	نک فازی	-/+	+	-	شکل موج	فراوانی	درصد فراوانی
۱۱	۲۵	۳۴	۱۲	۲۷	۱۲	۷	فراآنی		
٪۲۳/٪۹۲	٪۷۶/٪۰۸	٪۷۳/٪۹۲	٪۷۶/٪۰۸	٪۵۸/٪۷	٪۲۶/٪۰۸	٪۱۵/٪۲۲			



تصویر ۱: الکتروکاردیوگرام نرمال الاغ، سرعت ۲۵ میلی متر بر ثانیه و ولتاژ ۱۰ میلی متر برابر با یک میلی ولت.

جدول شماره ۳: اندازه فواصل امواج الکتروکاردیوگرام (بر حسب ثانیه) در ۴۶ رأس الاغ مورد مطالعه.

QRS	T	S-T	R-R	Q-T	P-P	T-P	P-R Seg	P-R	P	فواصل رابطه آماری
۰/۱ $\pm$ ۰/۰۱	۱/۱۶ $\pm$ ۰/۰۴	۰/۲ $\pm$ ۰/۰۵	۱ $\pm$ ۰/۲	۰/۴۶ $\pm$ ۰/۰۸	۱ $\pm$ ۰/۲۴	۰/۲ $\pm$ ۰/۰۴	۰/۱۴ $\pm$ ۰/۰۵	۰/۲۴ $\pm$ ۰/۰۵	۰/۱ $\pm$ ۰/۰۱	M $\pm$ STD
۰/۰۹	۰/۰۵	۰/۰۳	۰/۰۸۴	۰/۰۲۵	۰/۰۷۸	۰/۰۹	۰/۰۶	۰/۰۱۷	۰/۰۵	Min
۰/۱۴	۰/۰۳	۰/۰۳۴	۱/۰۷	۰/۰۶۱	۱/۰۹	۱/۰۱۸	۰/۰۲۷	۰/۰۳۹	۰/۰۱۴	Max

جدول شماره ۴: اندازه دامنه امواج الکتروکاردیوگرام (بر حسب میلی ولت) در ۴۶ رأس الاغ مورد مطالعه.

Q	T	r	S	P	موچ رابطه
۲/۲۲ $\pm$ ۰/۴	۰/۶۳ $\pm$ ۰/۳	۰/۱۳ $\pm$ ۰/۰۹	۲/۲۲ $\pm$ ۰/۴	۰/۲۷ $\pm$ ۰/۰۴	M $\pm$ STD
۱/۱	۰/۰۲۷	۰/۰۵	۱/۰۷	۰/۰۱۸	Min
۳/۲	۱/۰۹	۰/۰۵	۳/۰۳	۰/۰۳۹	Max

نرمال در اشتتقاق قاعده‌ای – رأسی به صورت جامع در این حیوان وجود ندارد. هدف از این پژوهش تعیین استانداردهای نرمال الکتروکاردیوگرام الاغ در اشتتقاق قاعده‌ای – رأسی است.

### مواد و روش کار

این مطالعه بروی ۴۶ رأس الاغ شامل ۲۸ رأس ماده و ۱۸ رأس نر و در محدوده سنی ۲ تا ۱۲ سال با وزن ۸۰ تا ۲۵۰ کیلوگرم صورت گرفت (جدول ۱). ابتدا سلامت حیوانات با انجام معاینات درمانگاهی تایید و سپس از اشتتقاق قاعده‌ای – رأسی، جهت تجزیه و تحلیل یافته‌های نرمال الکتروکاردیوگرام استفاده شد. اخذ نوار الکتروکاردیوگرام توسط دستگاه الکتروکاردیوگرام (D100) Davinsa ساخت ایتالیا و با سرعت ۲۵ میلی متر بر ثانیه و ولتاژ ۱۰ میلی متر برابر با یک میلی ولت انجام شد.

در این اشتتقاق الکتروود مثبت بروی سمت چپ قفسه سینه، در پنجمین فضای بین دنده‌ای و الکتروود منفی به پوست ناوдан و داجی راست، در دو سوم فاصله شاخه فکی ورید تا ورودی سینه همان سمت متصل شد. همچنین الکتروود زمین بروی دندۀ ۱۳ قرار گرفت (۱). از کلیه الاغها به صورت یکسان نوار گرفته شده و سپس یافته‌های حاصل مورد تجزیه و تحلیل قرار گرفتند.

قطبهای آن داشته و امواج ثبت شده در این اشتتقاق‌ها از ثبات نسبی برخوردار است. این اشتتقاق‌ها در دام‌های بزرگ ارتفاع و پسح بالایی را ندارند و ترجیحاً معیار چندان رضایت‌بخشی برای نمایش فعالیت الکتریکی قلب نیستند، در صورتی که اشتتقاق قاعده‌ای – رأسی می‌تواند به دلیل وضوح، ثبات و ارتفاع بالای امواج ثبت شده به عنوان اشتتقاق معیار در نظر گرفته شود (۱، ۵، ۶، ۱۰). روند اجرای بسیاری از مطالعات علمی و تحقیقاتی بروی اسب در کشور ما (خصوصا در مورد داروهای قلبی) با محدودیت‌های موجود مواجه است، لذا از الاغ به دلیل قرابت آناتومیکی نزدیک با اسب، ارزانی و در دسترس بودن آن، جهت تسهیل اینگونه مطالعات استفاده شده و نتایج حاصل از آن را بروی اسب تعمیم داده می‌شود. تنها اطلاعات موجود در رابطه با یافته‌های نرمال الکتروکاردیوگرام الاغ در ایران مربوط به مطالعه انجام شده بروی اشتتقاق‌های دیگر قلب بوده (۱۲) و اطلاعاتی در رابطه با پارامترهای



شکل از موج دراشتقاق‌های III, II, I aVL به طور بارز مشاهده می‌شود(۱۲). اندازه فاصله بدست آمده از مجموعه QRS (۰/۱±۰/۰۱) می‌باشد که با اندازه بدست آمده از اشتقاق‌های aVL, aVR, aVF, I, II, III، aVR، aVF اهمخوانی نداشته ولی قربت نزدیکی با اشتقاق  $V_{10}$  دارد. همچنین اندازه دامنه امواج Q, r, S در این اشتقاق با اندازه دامنه امواج گرفته شده در اشتقاق‌های دیگر توسط رضاخانی(۱۹۷۷) همچوانی نداشته است(۱۲). اشتقاق قاعده‌ای – رأسی در امتداد محور عمودی جدوگاه – جناغ، فعالیت الکتریکی قلب را منعکس می‌سازد و نمود QRS فقط یک بخش ابتدای کم ارتفاع کوتاه مدت (r) و سپس یک بخش ثانوی بسیار مرتفع و طولانی (S) را رسم می‌کند. از طرفی الکترودهای مثبت و منفی تا حدود زیادی در امتداد محور مایل و مورب واقعی قلب تک سمی‌ها قرار می‌گیرد و این باعث ثبت مجموع QRS با ارتفاع بالا در این اشتقاق می‌شود(۲۰).

شکل موج T بسیار متغیر بوده و به ویژه به تعداد ضربان قلب بستگی دارد. تغییر موج T می‌تواند دردام‌های مبتلا به اختلالات الکتروولیت‌ها و بیماری‌های عمومی نیز دیده شود، البته این تغییرها غیر اختصاصی بوده و کاربرد اندکی در جهت تشخیص دارد. تغییرات موج T ممکن است در میوکاردیت نیز رخ دهد. به دلیل آنکه تغییرهای موج T اختصاصی نیست و تعریف طبیعی بودن موج T دشوار است، برای تشخیص عوارض قلبی دردام‌های اهلی مفید نمی‌باشد(۱۳).

شکل موج T در این پژوهش بسیار متغیر و فاقد ثبات بود که با نتایج دیگر پژوهشگران همچوانی دارد. اندازه ارتفاع موج T بدست آمده از این مطالعه متفاوت با اندازه بدست آمده از سایر اشتقاق‌هایی باشد(۱۲).

فاصله زمانی بین شروع موج P و شروع مجموعه QRS که در حقیقت شروع انقباض دهلیزو شروع انقباض بطん است را فاصله PR گویند. زمانی که هدایت ایمپالس در گره دهلیزی – بطنی به تأخیر بیفتند افزایش فاصله PR دیده می‌شود(۱۴، ۱۳، ۱۰، ۲۰). اندازه بدست آمده از فاصله PR با اندازه بدست آمده از سایر اشتقاق‌ها خصوصاً اشتقاق  $V_{10}$  همچوانی فراوانی دارد(۱۲). بطن‌ها از شروع موج Q تا پایان موج T منقبض می‌شوند و این فاصله زمانی را Q-T می‌نامند، تغییرات ضربان قلب، اختلالات الکتروولیتی خصوصاً کلسیم و پتاسیم بر روی این فاصله می‌تواند تأثیر گذار باشد(۱۲، ۵). اندازه بدست آمده از فاصله Q-T با اندازه بدست آمده از سایر اشتقاق‌ها همچوانی فراوانی دارد(۱۰، ۲۰).

## نتایج

در این بررسی تعداد ضربان قلب معادل ( $93 \pm 7/10/47$ ) ضربان در دقیقه محاسبه گردید. شکل مجموعه QRS در این اشتقاق منفی و غالباً به صورت S نمایان شد. همچنین هیچ‌گونه شکاف یا بریدگی در شکل مجموعه QRS دیده نشد. از سوی دیگر شکل غالب موج P مثبت و به صورت دوفازی ظاهر شد (تصویر ۱). شکل موج T در این اشتقاق در غالب سه فرم منفی، مثبت و دوفازی دیده می‌شد. نتایج بدست آمده از این پژوهش در جداول شماره ۱ تا ۴ نشان داده شده است.

## بحث

میانگین ضربان قلب الاغها در این اشتقاق ( $93/10/47$ ) ضربان در دقیقه برآورد شده است که این میانگین در محدوده ضربان طبیعی قلب الاغ قرار دارد(۱۲، ۳).

موج P معرف دیلاریزاسیون دهلیز هاست(۱۵). میانگین فاصله و دامنه بدست آمده از موج P در این بررسی به ترتیب ( $0/۱۰/۰۱$ ) و ( $۰/۰۲۷/۰/۰۴$ ) بوده که با مقادیر بدست آمده از رضاخانی(۱۹۷۷)، در اشتقاق، aVR, aVF, aVL, II, III، aVR, aVF، aVL و  $V_{10}$  متفاوت بوده ولی قربت نزدیکی با مقادیر بدست آمده از اشتقاق  $V_{10}$  آن دارد(۱۲). در این مطالعه موج P در اکثر موارد به صورت دوفازی ظاهر شد که این شکل از موج توسط دیگر محققین نیز گزارش شده است(۱۳، ۱۲، ۵، ۸). همچنین این شکل از موج با شکل بدست آمده از اشتقاق‌های I, II, aVF، aVR و  $V_{10}$  متفاوت است(۱۲). در اشتقاق اشتقاق‌های  $V_{10}$  و aVR, aVL بدست آمده از اشتقاق قاعده‌ای – رأسی موج P از سطح بالای دهلیزها به طرف قطب مثبت اشتقاق (در زیر زانه آرنج چپ، فضای بین دنده‌ای پنجم)، نزدیک می‌شود و بنابراین نمود مثبت پیدا می‌کند. در حالی که در اشتقاق‌های دیگر و خصوصاً اشتقاق  $V_{10}$  جهت موج الکتریکی متفاوت است. در اشتقاق  $V_{10}$  هنگامی که دهلیز تحریک می‌شود، موج الکتریکی از سطح بالای دهلیزهای قلب (از طرف جدوگاه یا همان قطب مثبت  $V_{10}$ ) به طرف جناق سینه پایین می‌آید و در نتیجه موج P منفی رسم می‌شود. همچنین جهت موج الکتریکی از دهلیزهای سمت قطب مثبت و منفی در اشتقاق‌های aVR, aVL می‌تواند باعث منفی شدن موج P شود. شکل اموج QRS در این اشتقاق به صورت QS, rS دیده می‌شود که با اشکال گرفته شده این موج از اشتقاق قاعده‌ای – رأسی در اسب و گاو مطابقت دارد(۱۳، ۱۲، ۵، ۱۱، ۱۳). همچنین این



- electrocardiographic parameters of the domestic donkey (*eqnus asinus*), Zbl. Vet. Med. A. 24: 672-679.
- 13- Rose, R.J., Hodyson, D.R. (2000) Manual of Equine Practice, Mexico, W.B squunders, PP: 244-249, 258.
- 14- Swenson, M.G., Reece, W.O. (1996) Ducks Physiology of Domestic Animal. 11<sup>th</sup>Ed. Comstock. Pub.Com. London, PP: 120-126, 132, 137.
- 15- VAN zijk W.J. (1951) The electrocardiogram of the normal horse using the techniques of Einthoven and Wilson. Tijdsch. Diergeneesk. 76: 85-96.

باتوجه به نتایج بدست آمده می توان از الاغ به دلیل شباهت و قربات نزدیک پارامترهای الکتروکاردیوگرام آن با اسب در اشتراق قاعده‌ای راسی، ارزان بودن این حیوان و محدودیتهای انجام تحقیقات علمی در کشور ما بر روی اسب، به عنوان یک مدل تحقیقاتی جایگزین اسب، استفاده کرد.

## منابع:

۱. اسمیت، پ..، ترجمه: سیفی، ح..، رئوفی، ا..، گرجی دوز، م..، مخبر دزفولی، م. (۱۳۸۰) طب داخلی دام‌های بزرگ، جلد دوم، انتشارات نوربخش، صفحه ۴-۳.
۲. پتسن، د..، ترجمه: رضاخانی، ع..، رضائیان، غ. (۱۳۷۸) کاردیولوژی اسب، انتشارات مرکز دانشگاهی، شیراز، چاپ اول، صفحه ۳۶-۴۰، ۱۲۳، ۴۰-۱۲۵.
۳. کجوری، غ. (۱۳۸۲) اصول معاینه دام، انتشارات دانشگاه شهرکرد، چاپ اول، جلد اول، صفحه ۸۶.
- ۴ - گایتون، آ. ، ترجمه: شادان، ف.(۱۳۷۰) فیزیولوژی پزشکی، جلد اول، چاپ اول، انتشارات شرکت سهامی جهر، صفحه: ۲۴۰-۲۴۹-۲۴۹-۲۵۷.
۵. معاف پوریان، ا..، رضاخانی، ع. (۱۳۷۲) بررسی پارامترهای طبیعی الکتروکاردیو گرام گاو شیرده نژاد هلشتاین، مجله دامپزشکی دانشگاه تهران، دوره ۴۷، شماره ۳ و ۴، ۲۲-۳۳، ۲۲ صفحه.
- ۶ - مودی، آ..، ترجمه رضاخانی، ع. (۱۳۷۶) مقدمه‌ای بر الکتروکاردیوگرافی حیوانات، انتشارات دانشگاه شیراز، چاپ اول، صفحه ۳، ۲۰، ۲۳.
- 7- Buss, D. D., Rawling, C.A., Biscard, G. E. (1975) The normal electrocardiogram of the domestic pony. J, Electrcardiol, 8: 167- 172.
- 8- Hamline, R. L., Himes, J.A., Guttridge, H., Kirkhan, W. (1970) P wave in the electrocardiogram of the horse. Am. J. Vet. Res. 31(6):1027-1031.
- 9- Holmes, J. R., Rezakhani A. (1975) Observation on the T wave of the equine electrocardiogram, Equine Veterinary Journal. 7. 2.
- 10- Radostis, O. M., Hinchcliff, K.W., Constable, P. D. (2007) Veterinary Medicine. 10<sup>th</sup>Ed. Saunders, London, PP: 408-416.
- 11- Redd, S.M., Bayly, W.M., Sellon, Dc.(2004) Equine Internal Medicine, 2<sup>nd</sup>Ed. St louis, Mo; WB sanders. Missouri, PP: 379-380.
- 12- Rezakan, A., Yazdanmehr, M.M. (1977) The normal

